

## ЛИТЕРАТУРА

1. Клейнер Дж. Статистические методы в имитационном моделировании. Вып. 2.— М.: Статистика, 1978.
2. Налимов В. В., Чернова Н. А. Статистические методы планирования экстремальных экспериментов.— М.: Наука, 1965.
3. Адер Ю. Г. и др. Планирование экспериментов при поиске оптимальных условий.— М.: Наука, 1976.
4. Библиотека алгоритмов 1016 — 1516.— М.: Сов. радио, 1978.

Поступило в редакцию 9 ноября 1983 г.

УДК 621.382 : 523

А. О. БАКРУНОВ, О. С. СЛАДКОВ, И. В. ЩУКИН  
(Москва)

### ЭКСПЕРИМЕНТЫ ПО ОПРЕДЕЛЕНИЮ ПАРАМЕТРА СПИРАЛЬНОЙ СТРУКТУРЫ ПРОСТРАНСТВЕННО-СПЕКТРАЛЬНЫМ МЕТОДОМ

**Введение.** Спиральная структура — довольно частое явление для астрономических (а также гидро- и газодинамических) объектов, она наблюдается примерно у 70% галактик [1]. Для вывода и обоснования теоретических моделей образования спиральной структуры необходимо сравнение наблюдаваемой формы спиралей с теоретическими. Однако такое сравнение связано с определенными трудностями. Хотя может показаться очевидным, что данная галактика имеет спиральные «рукава» и части этих «рукавов» отчетливо видны, очертить спиральную структуру в целом, как отмечается в [1], иногда бывает исключительно трудно. Примером может служить туманность Андромеды M31 (рис. 1). Спиральная структура в астрономических приложениях определяется, как правило, логарифмической спиралью с двумя «рукавами» (рис. 2). Важным параметром модели, тесно связанным с предполагаемым механизмом возникновения спиральной структуры, является угол  $\varphi$ , определяющий коэффициент роста спирали. Рассмотрим возможность нахождения этого параметра пространственно-спектральным методом [2, 3] путем использования углового спектра (УС) изображения спиральной структуры.

**УС спиральной структуры.** УС определим соотношением [3]

$$I_\beta = I_\beta(\beta) = I_\beta(\beta; \rho_1, \rho_2) = (2\pi)^{-1} \int_{\rho_1}^{\rho_2} I(\rho, \beta) \rho d\rho, \quad I(\rho, \beta) = |\dot{F}(\rho, \beta)|^2, \quad (1)$$

где  $I(\rho, \beta)$  — интенсивность пространственного спектра;  $\dot{F}(\rho, \beta)$  — пространственный спектр изображения;  $\rho, \beta$  — полярные координаты в плоскости пространственного спектра; значение  $\rho_1$  выбрано так, что выполняются условия нахождения УС методом стационарной фазы [3].

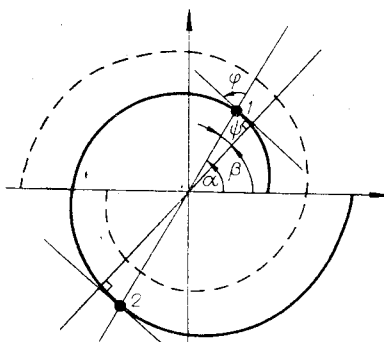
Найдем УС для спиральной структуры, заданной одним «рукавом» логарифмической спирали

$$r(\alpha) = r_0 e^{a\alpha}, \quad \alpha_0 \leq \alpha \leq \alpha_m, \quad (2)$$

с параметрами  $\alpha_0 = 0^\circ$ ,  $\alpha_m = 360^\circ$ ,  $r_0 = r(\alpha = 0)$ ,  $a = \operatorname{tg} \psi$ ,  $\psi = \pi/2 - \varphi$ ;  $r, \alpha$  — полярные координаты в плоскости изображения. В данном случае УС определяется



Rис. 1. Пример спиральной структуры астрономического объекта (по [1]).



Rис. 2. Модель спиральной структуры.  
Показаны точки стационарной фазы.

двумя точками стационарной фазы, и, следовательно, согласно [3] имеем

$$I_\beta = k[R_1(\beta) + R_2(\beta)], \quad (3)$$

где  $R_1$  и  $R_2$  — радиусы кривизны в точках стационарной фазы;  $k$  — коэффициент пропорциональности. Учитывая выражения для  $R_1$  и  $R_2$ , нормированный УС получаем в виде

$$\bar{I}_\beta = e^{\alpha\beta}; \quad \bar{I}_\beta = I_\beta(\beta)/I_\beta(0), \quad 0 \leq \beta \leq \pi, \quad (4)$$

где

$$I_\beta(0) = k(1 + a^2)^{1/2}r_0e^{\alpha\pi}(1 + e^{\alpha\pi}). \quad (5)$$

Как следует из (4), нормированный УС также определен логарифмической спиралью с тем же коэффициентом роста, что и исходная спираль (2). Угол  $\varphi$ , определяющий коэффициент роста, удобно находить из соотношения

$$\ln \bar{I}_\beta = \beta \operatorname{ctg} \varphi, \quad 0 \leq \beta \leq \pi. \quad (6)$$

Рассмотрим другие модели спиральной структуры. Если величина угла закручивания  $(\alpha_m - \alpha_0)$  кратна  $2\pi$ , т. е.  $(\alpha_m - \alpha_0) = n2\pi$ , то (3) переходит в

$$I_\beta = k \sum_{i=1}^{2n} R_i(\beta). \quad (7)$$

После нормировки (7) на  $I_\beta(0)$  для  $\bar{I}_\beta(\beta)$  получаем соотношение (4).

В случае спиральной структуры с несколькими ветвями

$$I_\beta = k \sum_{s=1}^p \sum_{i=1}^{2n} R_{is}(\beta + \beta_{0s}), \quad (8)$$

где  $p$  — число ветвей;  $\beta_{0s}$  — угол, определяющий ориентацию  $s$ -й ветви. Для спиральной структуры галактик характерно наличие двух «рукавов», расположенных центросимметрично (см. рис. 2). Учитывая центральную симметрию ветвей и периодичность УС (период равен  $\pi$ ), получаем

$$I_\beta = 2k[R_1(\beta) + R_2(\beta)], \quad (9)$$

т. е. соотношение (4) сохраняет силу.

При моделировании структуры, подобной рис. 1, необходимо учитывать, что отдельные участки спирали могут быть выражены недостаточно четко или вообще отсутствовать. В этом случае (8) удобно представить в виде

$$I_\beta = k \sum_{s=1}^p \sum_{i=1}^{2n} R_{is}(\beta + \beta_{0s}) - k \sum_{s=1}^p \sum_{j=1}^m R_{js}(\beta' + \beta_{0s}), \quad (10)$$

где  $\beta'$  принадлежит интервалу углов, соответствующих отсутствующим участкам спирали;  $m$  — число стационарных точек для данного направления  $\beta'$ . Отсутствие участков спирали приводит к появлению на графике  $I_\beta(\beta)$  провалов.

**Результаты экспериментальных исследований.** Экспериментально УС для спиральной структуры (см. рис. 1) был определен двумя методами: когерентно-оптическим (КО) и с использованием системы цифрового (Ц) моделирования МСИ-78 [4, 5]. Нормированные УС  $\bar{I}_{\beta\text{KO}}$  и  $\bar{I}_{\beta\text{Ц}}$ , полученные в этих экспериментах, показаны на рис. 3. На графиках УС (особенно  $\bar{I}_{\beta\text{KO}}$ ) заметны провалы, вызванные отсутствием некоторых участков спиральной структуры; на форме УС сказывается также неравномерная плотность расположения точек по «рукавам» спиралей.

При проведении когерентно-оптического эксперимента УС получен путем сканирования пространственного спектра изображения врачающейся щелью (см. рис. 3). Условия эксперимента: формат изображения (диаметр) 20 мм;  $\rho_2/\rho_1 = 10$ ;  $\rho_1 \approx 40 \rho_0$ , где  $\rho_0$  определяется положением первого нуля в картине дифракции Эйри; угловой раскрытий щели  $\sim 15^\circ$ .

В вычислительном эксперименте пространственный спектр найден с помощью системы МСИ-78, при этом отдельные точки изображения заменялись  $\delta$ -образными



Рис. 3. Экспериментальные угловые спектры спиральной структуры, показанной на рис. 1: штриховые линии — теоретическая форма УС (с учетом сглаживания спиральной окном).

элементами, далее путем обработки пространственного спектра в системе МСИ-78 вычислялся УС. Условия эксперимента: число отсчетов при усреднении пространственного спектра по радиусу  $\rho \in [\rho_1, \rho_2]$  400; число отсчетов по углу  $\beta \in [0, \pi]$  100;  $\rho_2/\rho_1 = 10$ . Для сравнения с результатом когерентно-оптического эксперимента УС, полученный в вычислительном эксперименте, складывался по 7 угловым отсчетам.

Для определения коэффициента роста учтем, что теоретическая зависимость  $\ln I_\beta$  от угла  $\beta$  имеет вид периодической последовательности импульсов треугольной формы. Выполняя аппроксимацию экспериментальных графиков так, как показано на рис. 3, получаем

$$\Phi_{\text{ко}} \approx 82^\circ, \Phi_{\text{д}} \approx 72^\circ. \quad (11)$$

Разброс в значениях угла  $\phi$ , по-видимому, соответствует известной неопределенности при интерпретации структуры исходного изображения рис. 1 как спиральной. Для сравнения укажем, что по [1] среднее значение параметра  $\phi$  для спиральных галактик составляет  $(73,4 \pm 6)^\circ$ .

Отмеченные в работе особенности УС спиральных структур могут быть использованы также для поиска объектов с подобной структурой на изображениях.

## ЛИТЕРАТУРА

1. Рольфе К. Лекции по теории волн плотности/Пер. с англ.— М.: Мир, 1980.
2. Бакрунов А. О., Сладков О. С., Шабанов М. Ф., Щукин И. В. Некоторые возможности применения когерентной оптики для обработки снимков, получаемых в первичном фокусе 6-метрового телескопа.— Астроном. циркуляр, 1981, № 1195, с. 1—3.
3. Сладков О. С., Щукин И. В. Возможности классификации биологических объектов по морфологическим признакам методами фурье-микроскопии и оптической обработки информации.— Автометрия, 1982, № 1, с. 69—75.
4. Бакрунов А. О., Щукин И. В. Исследование статистических свойств пространственных спектров точечных моделей структуры изображений.— В кн.: Обработка изображений и дистанционные исследования.— Новосибирск: ВЦ СО АН СССР, 1981, с. 19—20.
5. Бакрунов А. О., Щукин И. В. Методы проверки статистических свойств псевдослучайных точечных изображений при испытании алгоритмов анализа структуры.— Автометрия, 1984, № 6, с. 53—57.

Поступило в редакцию 10 июля 1984 г.

УДК 681.3

С. П. ВЕСНОВСКИЙ, В. П. САБАНИН, Г. М. ТРУБАЧЕЕВ

(Москва)

## ОБОБЩЕННО-ЭКСПОНЕНЦИАЛЬНАЯ КУСОЧНАЯ ФУНКЦИЯ ДЛЯ АППРОКСИМАЦИИ ОДНОЧНЫХ СПЕКТРОМЕТРИЧЕСКИХ ПИКОВ

Одним из важнейших этапов организации автоматической обработки спектрометрической информации является выбор аналитической функции для аппроксимации одиночного экспериментального пика [1—5]. Наибольшую точность аппроксимации обеспечивает кусочная функция, составленная из функции Гаусса  $y = a \exp(-(1/2)((x-b)/c)^2)$ , простой  $y = a \exp((x-b)/c)$  или двойной  $y = a_0 \exp(a_1 \exp((x-b)/c))$  экспоненты; точки спивки при этом произвольные [6]. Аналитическая запись кусочной функции существенно упрощается, если точки спивки выбраны в точках перегиба гауссианов:

$$y = \begin{cases} a \exp \left\langle -\frac{1}{2} - \left( \frac{b-x}{c_1} \right)^2 \right\rangle, & x \leq b - c_1; \\ a \exp \left\langle -\frac{1}{2} \left( \frac{b-x}{c_1} \right)^2 \right\rangle, & b - c_1 < x \leq b; \\ a \exp \left\langle -\frac{1}{2} \left( \frac{x-b}{c_2} \right)^2 \right\rangle, & b < x \leq b + c_2; \\ a \exp \left\langle \frac{1}{2} - \left( \frac{x-b}{c_2} \right)^2 \right\rangle, & b + c_2 < x \end{cases}$$

(рис. 1). Для пиков с затянутым левым хвостом («столиком») вместо простой целесообразно использовать двойную экспоненту

$$y = a_0 \exp(T \exp((1-S)/T)), \quad x \leq b - c_1,$$

где

$$S = (b-x)/c_1; \quad T = -\ln(a_0/a) - 1/2.$$